

ВЫСОКОМОЛЕКУЛЯРНЫЕ

Том (А) XX

СОЕДИНЕНИЯ

1978

№ 6

УДК 541.64:539.2:547.1'128

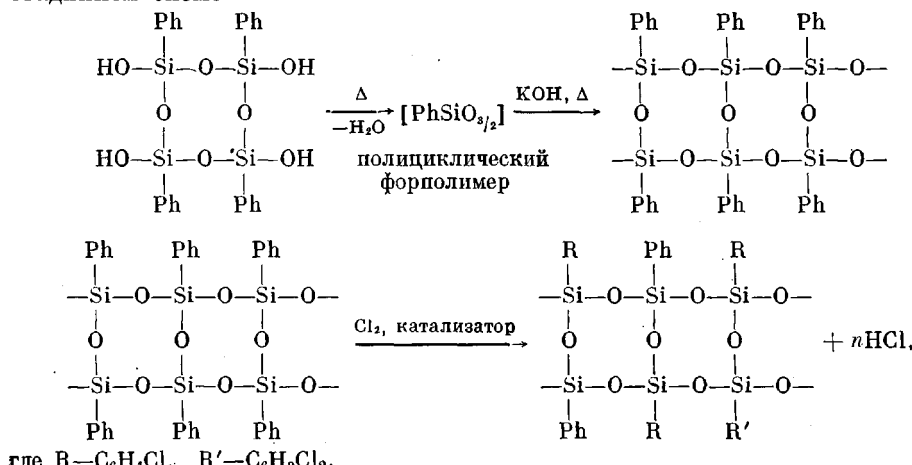
СИНТЕЗ И СТРУКТУРА МОЛЕКУЛ ХЛОРИРОВАННЫХ ЛЕСТНИЧНЫХ ПОЛИФЕНИЛСИЛСЕСКВИОКСАНОВ

Андранинов К. А., Витовская М. Г., Бушин С. В.,
Емельянов В. Н., Музабаров А. М., Цванкин Д. Я.,
Цветков В. Н.

Выполнен синтез ряда лестничных полихлорфенилсилоксанов с различным содержанием хлора в фенильных циклах. В результате рентгенографического исследования этих полимеров обнаружено возрастание межцепочечного расстояния d_1 при увеличении степени хлорирования образцов с одновременным уширением и ослаблением первого дифракционного максимума. Для образца с 36%-ным содержанием хлора получены зависимости $[\eta]$, D и S_0 от M в интервале $4,2 \cdot 10^4 < M < 5,2 \cdot 10^5$. Размер гидродинамического поперечника его молекул $d = 17 \pm 2$ Å соответствует результатам рентгеноструктурного анализа. Величины сегментов Кунга $A_D = 250 \pm 50$ Å (из диффузионных данных) и $A_n = 180 \pm 20$ Å (полученного с использованием теории вязкости Ямакавы и Фуджии) коррелируют и близки к значениям A для полисилоксанов лестничного типа.

Синтез и исследование структуры циклонинейных полиорганосилесквиоксанов по-прежнему остается весьма актуальной проблемой в области жесткоцепных полимеров. В работах [1–5] исследовано влияние на равновесную жесткость лестничных полисилоксанных цепей природы заместителей при атомах кремния. Было обнаружено, что макромолекулы циклонинейного полихлорфенилсилесквиоксана [1, 2] имеют большую равновесную жесткость, заметно превосходящую жесткость молекулярных цепей лестничных полифенилсилоксанов [3–5]. В настоящей работе был осуществлен синтез лестничных полихлорфенилсилоксанов с различным числом атомов хлора в боковых фенильных циклах. Использование рентгенографического и гидродинамических методов позволило сделать количественные определения некоторых структурных и конформационных характеристик молекул синтезированных полимеров.

Синтез хлорированных полифенилсилесквиоксанов проводили по двухстадийной схеме



В качестве катализатора в реакциях хлорирования использовали кристаллический иод (до 1% от веса полимера), а в качестве растворителя — CCl_4 .

Ниже приведены некоторые характеристики синтезированных образцов с различным содержанием хлора.

Содержание хлора в полимере, %	0	18,3	27,2	30,3	34,8	36,0	39,9
$[\eta]$, dL/g (в бензole)	2,2	2,1	—	1,22	—	0,74	—
$d_1, \text{\AA}$	13,0	14,0	14,3	14,9	15,1	15,4	16,0

Рентгенографические исследования проводили с помощью дифрактометрических и фотографических методик с $\lambda=1,54 \text{\AA}$. На рентгенограммах хлорированных полифенилсилесквиоксанов, как и в случае ранее исследованных лестничных полисилоксанов [6, 7], наблюдается два характерных максимума, соответствующих межплоскостным расстояниям d_1 и d_2 (при использовании соотношения $2d \sin \theta = \lambda$). Полученные значения d_1 , характеризующие средние межцепные расстояния в структуре полимера или средний диаметр поберечного сечения макромолекул, приведены выше. Видно, что по мере увеличения содержания хлора в полимере значения d_1 также увеличиваются, достигая для образца с максимальным содержанием хлора ($\approx 40\%$) значения $d_1=16 \text{\AA}$, которое пре- восходит величину d_1 для изученных ранее кремнийорганических полимеров с лестничным строением цепи. Это свидетельствует о возрастании поберечных размеров молекулярных цепей хлорированных полифенилсилесквиоксанов, что естественно, поскольку межмолекулярные радиусы атомов хлора ($1,78 \text{\AA}$) значительно больше, чем у атомов водорода ($1,17 \text{\AA}$). В то же время с возрастанием содержания хлора в образцах интенсивность дифракционных максимумов d_1 уменьшается, и они становятся более широкими и диффузными, что свидетельствует об уменьшении упорядоченности структуры и увеличении дисперсии межцепных расстояний в полимерах с большим содержанием хлора. Последнее, по-видимому, может быть связано с неравнозенной «заселенностью» фенильных ради- калов атомами хлора как по количеству, так и по положению в ядре (*ortho*-, *meta*- и *para*-положения).

Гидродинамические исследования. Образец, содержащий 36% хлора в молекулах (что соответствует в среднем наличию двух ато- мов хлора в каждом фенильном цикле), — циклонейный полидихлорфе- нилсилесквиоксан (I) был расфракционирован дробным осаждением из бензола гексаном.

Проводили изучение характеристических вязкостей $[\eta]$, поступательной диф- фузии D и седиментации растворов фракций I в бензole. Характеристические вяз- кости $[\eta]$ измеряли стандартным методом в капиллярном вискозиметре. Коэффи- циенты поступательной диффузии D определяли на поляризационном диффузо- метре [8] в кювете длиной 5 см при концентрациях растворов $c \sim 0,05-0,08 \text{ g/dL}$. Использование столь малых концентраций практически освобождало от необходимости измерения концентрационных зависимостей D с последующей экстраполяцией данных к $c=0$. Инкремент показателя преломления системы I — бензол $\partial n/\partial c = = (0,075 \pm 0,005) \text{ cm}^3/\text{g}$. Седиментационные измерения выполняли на ультрацентрифуге МОМ 3170 (Венгрия) с использованием оптики Филлпта-Свенсона. Скорость вра- щения ротора составляла 40 000 об/мин, а для низкомолекулярных фракций — 50 000 об/мин. Опыты проводили в односекторной кювете с металлическим вклады- шем при концентрации растворов $c \sim 0,1 \text{ g/dL}$. Константы седиментации S_0 , соответ- вующие условиям бесконечного разбавления, рассчитывали по уравнению $1/S = = 1/S_0(1 - \gamma[\eta]c)$ с экспериментальным значением $\gamma = 0,8$, определенным из концен- трационной зависимости S для наиболее высокомолекулярной фракции. Молекуляр- ные массы M_{SD} фракций, вычисленные по формуле Сведберга из опытных данных D и S_0 и парциального удельного объема $\bar{v} = 0,590 \text{ cm}^3/\text{g}$ в бензоле, приведены в таб- лице. Здесь же даны экспериментальные значения $[\eta]$, D и S_0 в бензоле и рассчи- танные по формуле $A_0 = \eta_0 D (M[\eta]^{1/3}) T^{-1}$ значения гидродинамического парамет- ра A_0 . Среднее по фракциям значение $A_0 = (3,2 \pm 0,2) \cdot 10^{-10} \text{ эрг/град}$ для I хорошо соглашается с экспериментальными значениями A_0 , полученными для других лест-ничных полисилоксанов [1, 4, 5].

На рис. 1 в двойном логарифмическом масштабе изображены зависимости величин $[\eta]$, D и S_0 от молекулярной массы M_{SD} . В исследованном интервале молекулярных масс $4,2 \cdot 10^4 < M < 5,4 \cdot 10^5$ эти зависимости могут быть описаны уравнениями

$$[\eta] = 1,35 \cdot 10^{-4} M^{1,05}; D = 1,26 \cdot 10^{-3} M^{-0,68}; S_0 = 2,48 \cdot 10^{-14} M^{0,32} \quad (1)$$

Высокие значения экспонент в уравнениях $[\eta] = f(M)$ и $D = f(M)$ для I, характерные для лестничных полисилоксанов, свидетельствуют о слабом гидродинамическом взаимодействии в молекулярных цепях данного полимера и повышенной их равновесной жесткости. Последняя может быть вычислена из гидродинамических данных с использованием соот-

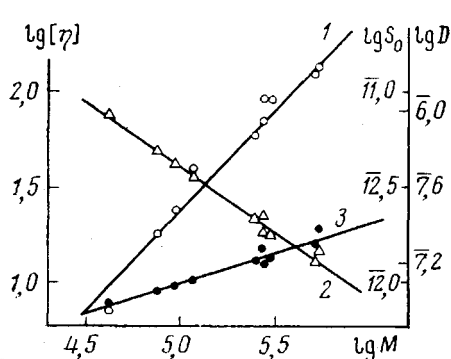


Рис. 1

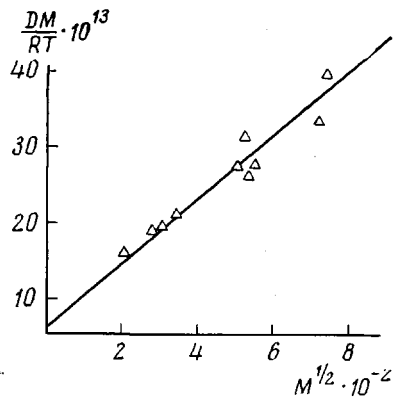


Рис. 2

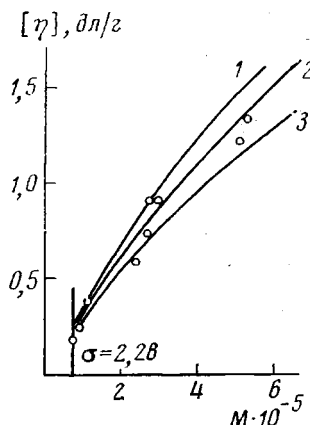


Рис. 3

Рис. 1. Зависимости $\lg [\eta]$ (1), $\lg D$ (2) и $\lg S_0$ (3) от $\lg M$ для фракций I

Рис. 2. Зависимость DM/RT от $M^{1/2}$ для фракций I

Рис. 3. Зависимости $[\eta]$ от M для I. Кривые — теоретические построения по формуле (2) для значений A , A : 1 — 200, 2 — 180, 3 — 160. Точки — экспериментальные значения $[\eta]$ фракций I

вествующих теорий протекаемых червеобразных цепей. На рис. 2 приведено построение экспериментальной зависимости $DM/RT = f(M^{1/2})$, которая, согласно теориям поступательного трения червеобразных цепей [9, 10], в данном интервале M может быть аппроксимирована прямой. Определенная из наклона этой прямой длина сегмента Кюна макромолекул I равна $A_b = 250 \pm 50 \text{ \AA}$, чему соответствуют 100 мономерных звеньев. При расчете были использованы значения массы мономерного звена $M_0 = 396$ и проекции длины звена на основную ось цепи $\Lambda = 2,5 \text{ \AA}$ в соответствии с цис-синдиотактической структурой лестничных полисилоксановых цепей [1–5, 11]. Величина гидродинамического поперечника цепей I, вычисленная из отсекаемого по оси ординат отрезка, равная $d = (17 \pm 2) \text{ \AA}$, количественно коррелирует с результатами рентгенографических исследований.

Гидродинамические характеристики фракций лестничного полидихлорфенилсилооксана

$M_{SD} \cdot 10^{-5}$	$[\eta] \cdot 10^{-2}, \text{см}^3/\text{г}$	$D \cdot 10^7, \text{см}^2/\text{сек}$	$S_0 \cdot 10^{13}$	$A_0 \cdot 10^{10}, \text{эрз/град}$
5,4	1,34	1,82	19	3,5
5,2	1,22	1,60	16	3,0
3,0	0,91	2,26	13	3,2
2,8	0,91	2,30	12,5	3,1
2,7	0,73	2,85	15	3,6
2,5	0,58	2,73	13	3,1
1,16	0,38	4,45	10	3,4
0,93	0,24	5,20	9,4	3,2
0,76	0,18	6,10	9,0	3,1
0,42	0,07	9,50	7,7	2,9

Обработку вискозиметрических данных проводили по теории Ямакавы и Фуджи [12]. Согласно [12], характеристическая вязкость полужестких червеобразных клубков, состоящих из $\sigma=L/A \geq 2,28$ сегментов, определяется выражением

$$[\eta] = \frac{\Phi_\infty (LA)^{1/2}}{M} \frac{1}{1 - \sum_{i=1}^4 C_i (L/A)^{-i/2}}, \quad (2)$$

где L — контурная длина молекулярной цепи, $\Phi_\infty = 2,87 \cdot 10^{23} \text{ моль}^{-1}$, c_i — коэффициенты, зависящие от величины отношения d/A . Кривые 1—3 рис. 3 изображают теоретические зависимости $[\eta]$ от M , рассчитанные для I по этому уравнению с использованием значений $A=200, 180$ и 160 \AA при отношении $d/A=0,09$. При выбранных значениях A область применимости формулы (2) (условие $L/A > \sigma = 2,28$) лежит выше значения $M = (65 \pm 7) \cdot 10^3$, что отмечено на рис. 3 вертикальной прямой $\sigma = 2,28$. Экспериментальные точки лежат в интервале значений, ограниченных этими кривыми. Таким образом, длина сегмента Куна макромолекул I, определенная из вискозиметрических данных, равна $A_n = 180 \pm 20 \text{ \AA}$, что в пределах погрешности коррелирует с результатом, полученным из поступательного трения. В то же время обработка вискозиметрических результатов по теории Хирста [13] приводит к весьма заниженному значению $A_n \sim 130 \text{ \AA}$ (из наклона линейного участка зависимости $M/[\eta] = f(M^{1/2})$). Величина равновесной жесткости макромолекул ($A_D = 250$ и $A_n = 180 \text{ \AA}$) лежит в области значений, характерных для других исследованных полисилооксовых цепей лестничного типа.

Институт высокомолекулярных соединений АН СССР

Поступила в редакцию
8 VIII 1977

Институт элементоорганических соединений АН СССР

ЛИТЕРАТУРА

1. М. Г. Витовская, П. Н. Лавренко, А. А. Горбунов, С. В. Бушин, Н. Н. Макарова, К. А. Андрианов, В. Н. Цветков, Высокомолек. соед., B17, 593, 1975.
2. В. Н. Цветков, К. А. Андрианов, Е. И. Рюмцев, И. Н. Штенникова, Н. В. Погодина, Г. Ф. Колбина, Н. Н. Макарова, Высокомолек. соед., A17, 2493, 1975.
3. В. Н. Цветков, К. А. Андрианов, Е. И. Рюмцев, И. Н. Штенникова, М. Г. Витовская, Н. А. Курасева, Н. Н. Макарова, Высокомолек. соед., A15, 400, 1973.
4. В. Н. Цветков, К. А. Андрианов, М. Г. Витовская, Н. Н. Макарова, Э. Н. Захарова, С. В. Бушин, П. Н. Лавренко, А. А. Горбунов, Высокомолек. соед., A14, 369, 1972; A15, 872, 1973.
5. М. Г. Витовская, Э. П. Астапенко, С. В. Бушин, В. С. Сказка, В. М. Ямщиков, Н. Н. Макарова, К. А. Андрианов, В. Н. Цветков, Высокомолек. соед., A15, 2549, 1973.
6. К. А. Андрианов, А. М. Кононов, Д. Я. Цванкин, Высокомолек. соед., B10, 320, 1968.

7. К. А. Андранинов, Г. Л. Слонимский, Д. Я. Цванкин, В. С. Папков, В. Ю. Левин, Ю. П. Каачев, М. Н. Ильина, Н. Н. Макарова, Высокомолек. соед., Б16, 208, 1974.
 8. В. Н. Цвегков, Ж. экспер. и теорет. физики, 21, 701, 1951.
 9. J. Hearst, W. Stockmayer, J. Chem. Phys., 37, 1425, 1962.
 10. H. Yamakawa, M. Fudjii, Macromolecules, 6, 407, 1973.
 11. J. F. Brown, J. Polymer Sci., C 1, 83, 1963.
 12. H. Yamakawa, M. Fudjii, Macromolecules, 7, 128, 1974.
 13. J. Hearst, J. Chem. Phys., 40, 1506, 1964.
-

**SYNTHESIS AND STRUCTURE OF THE MOLECULES
OF CHLORINATED LADDER POLYPHENYLSILSESQUIOXANES**

*[Andrianov K. A., Vittovskaya M. G., Bushin S. V.,
Emel'yanov V. N., Muzafarov A. M., Tsvankin D. Ya.,
Tsvetkov V. N.]*

S u m m a r y

Some ladder polychlorophenylsiloxanes with different chlorine content in side phenyl rings were synthesized. An x-ray diffraction analysis showed that in these polymers the interchain distance d_1 increases with increasing degree of chlorination of the samples, while the first diffraction maximum broadens and weakens. For a sample with 36% chlorine the dependences of $[\eta]$, D and S_0 on M were obtained in the range $4.2 \times 10^4 < M < 5.2 \times 10^5$. The value of the hydrodynamic cross-section of its molecules $d = (17 \pm 2)$ Å agrees with the x-ray diffraction analysis data. The values of Kuhn segments $A_D = (250 \pm 50)$ Å (from diffusion data) and $A_\eta = (180 \pm 20)$ Å (obtained with the use of the viscosity theory of Yamakawa and Fudjii) correlate and are close to the values of A for ladder polysiloxanes.